

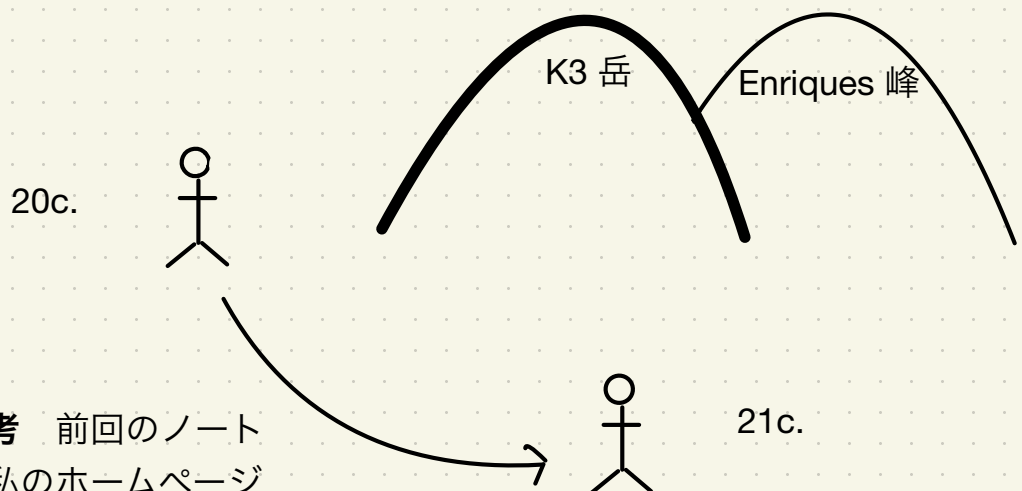
# 21世紀の楕円曲線、或は、K3 と Enriques 曲面

前回はミラーや猪瀬等、特別な4次曲面族とK3曲面全体との関係について説明した。今回は Enriques 曲面も含めて周期から出発する。周期に関するTorelli型定理のおかげで、これらの曲面族に完璧な番地を与えることができ、楕円曲線やアーベル曲面との関連が見えてくる。例として、超幾何の特別な場合としての完全楕円積分

$$K(k) = \int_0^1 \frac{dx}{\sqrt{(1-x^2)(1-k^2x^2)}}$$

を多重積分化する1パラメータ族(金銅II型)を考察しよう(§2)。

時間が許せば、Conway-Sloane の球面充填の本の「Leech ルートと Vinberg 群」の章(1982年の論文)を幾何化する話を、標数正で超特異なものの出現する辺りに焦点を当てて紹介したい(§4)。



**参考** 前回のノート  
は私のホームページ

[https://www.kurims.kyoto-u.ac.jp/~mukai/paper/21c\\_elliptic.pdf](https://www.kurims.kyoto-u.ac.jp/~mukai/paper/21c_elliptic.pdf)  
[https://www.kurims.kyoto-u.ac.jp/~mukai/paper/most\\_algebraic.pdf](https://www.kurims.kyoto-u.ac.jp/~mukai/paper/most_algebraic.pdf)

からお取り下さい。(Prerequisite ではありません。)

# 21世紀の椭円曲線、または、K3と

①

## Enriques 曲面

6/9/23 (金)

EwM@中央大

### §1. 2次元版

$$\left\{ \begin{array}{l} \text{椭円曲線} \\ \text{or 第1種微分} \end{array} \right. \left\{ \begin{array}{l} C: \tau^2 = 4x^3 - g_2x - g_3 / \mathbb{P}^1 \text{ 2重被覆} \\ \omega = \frac{dx}{\sqrt{4x^3 - g_2x - g_3}} \in H^0(C, \mathcal{O}_C) \end{array} \right.$$

或は、

$$\left\{ \begin{array}{l} C: f_3(x, y) = 0 \subset \mathbb{P}^2_{(x:y:1)} \text{ 平面3次曲線} \\ \omega = \text{Res}_C \frac{dx \wedge dy}{f_3(x, y)} \end{array} \right.$$

$\curvearrowleft$   $C$  には,  $\tau$  1位の極

素直子

$$\left\{ \begin{array}{l} S: \tau^2 = f_6(x, y) / \mathbb{P}^2 \text{ K3曲面} \\ \omega = \frac{dx \wedge dy}{\sqrt{f_6(x, y)}} \in H^0(S, \mathcal{O}_S^2) \end{array} \right.$$

$\curvearrowleft$  nowhere vanishing  
2型  $\omega$ .

或は

$$\left\{ \begin{array}{l} S: f_4(x, y, z) = 0 \subset \mathbb{P}^3_{(x:y:z:1)} \\ \omega = \text{Res}_S \frac{dx \wedge dy \wedge dz}{f_4(x, y, z)} \end{array} \right.$$

$\curvearrowleft$   $S$  には,  $\tau$  1位の極

記号  $\mathcal{O}_C, \mathcal{O}_S$  余接束.  $\mathcal{I}_S^2 := \Lambda \mathcal{O}_S$ .

曲線 = compact Riemann 面



$g \geq 0$

椭円曲面

$g=1$

(2)

実数類

$g \geq 2$

平面

(代数)曲面

$K = -\infty$

0

1

2

2次トーラス

$K_3$ 曲面

Enriques曲面

---

自明

素直

高級

$S^1 \times S^1$

$S^2$

$\mathbb{RP}^2$

F. Enriques (1896) 「4面体の辺を2重に通す  
曲面(3D内)の正規化」\*

と既見

4面体  $x+y+z=0$  とします。

$$\bar{S} : \left( \frac{1}{x^2} + \frac{1}{y^2} + \frac{1}{z^2} + \frac{1}{t^2} \right) x^2 y^2 z^2 t^2 + Q(x, y, z, t) x y z t = 0$$

但し,  $Q$  は4変数有り 2次式。

$\subset \mathbb{P}^3_{(x:y:z:t)}$

- $H^0(S, \mathcal{R}_S^2) = 0$  かつ  $H^0(S, (\mathcal{R}_S^2)^{\otimes 2}) \neq 0$ .  
( $\mathcal{R}$  が正規化されたことを示す,  $P_1 = 0$  かつ  $P_2 \neq 1$ )

実際  $\Psi := xy + \left( \text{Res}_{\bar{S}} \frac{dx dy dt}{f_6(x, y, z, t)} \right)^{\otimes 2} \in H^0(S, (\mathcal{R}_S^2)^{\otimes 2})$

但し,  $f_6(x, y, z, t)$  は  $\bar{S}$  の定義  $\leftrightarrow \Sigma^2$ . ( $\Sigma$  は nowhere vanishing.)

Remark 1 Castelnuovo 判定条件 (1895)

$$g = P_2 = 0 \Rightarrow \text{有理曲面}$$

たゞ、  $P_2 \neq P_3$  は主極点を示してます。  
(小数点の附近.)

- $\Psi$  の定め 2重被覆  $\tilde{S}$  は  $K_3$  曲面  $\left( K_{\tilde{S}} \sim 0 \right)$



\*) Griffiths-Harris教科書第4章 § 6 や M.-Ohashi(2013)のRemark 6.

より具体的には、 $(z, z, z)$ を因子でみて  $\mathbb{P}^3$  曲面

(3)

$$\tilde{S}: y^2z^2 + z^2x^2 + x^2y^2 + 1 + Q(x, y, z, xy) = 0 \subset \mathbb{P}_x^1 \times \mathbb{P}_y^1 \times \mathbb{P}_z^1$$

と固定点のない対合  $(x_1, x_2, x_3) \xleftarrow{\epsilon} (-x_1, -x_2, -x_3)$   
で割って之を商曲面  $\tilde{S}/\epsilon$  である。<sup>\*</sup>

・(モジュライ数) = 10       $Q(x, y, z, t)$  の 10 個の係数  
但し、要注意。(2 節③ 参照)。

例 (金剛正型, 大橋表示)  $Q(x, y, z, t)$  が

特別な対角型  $x^2 + y^2 + z^2 + (1-\lambda)t^2$  の場合。但し,  $\lambda \in \mathbb{C} \setminus \{0, 1\}$   
はパラメータ。

$$\tilde{S}_\lambda: (x^2+1)(y^2+1)(z^2+1) - \lambda x^2y^2z^2 = 0 \subset \mathbb{P}_x^1 \times \mathbb{P}_y^1 \times \mathbb{P}_z^1$$

の場合とで割って之を商  $Euippes$  曲面の族  $\{\tilde{S}_\lambda\}_{\lambda \neq 0, 1}$   
は、有限個(同型)  $|\text{Aut } S| < +\infty$  とすると  $Euippes$  曲面  
(金剛正型) 7種に分類)  $\rightarrow$  一種。<sup>\*\*</sup>

\*\*  $S_\lambda$  は 6 個の node (通常 2 重点) と

6 本の  $\mathbb{P}^1$  をもつ。特異点解消上の配置図

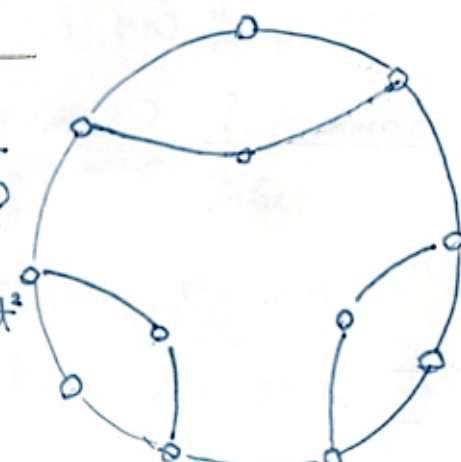
\* 商曲面は

$$(x^2 + y^2 + z^2 + t^2)xyzt + Q(\frac{1}{x}, \frac{1}{y}, \frac{1}{z}, \frac{1}{t})x^2y^2z^2t^2 = 0 \subset \mathbb{P}_{(x:y:z:t)}^3$$

= わずか 6 次曲面の

$$Cremmon 表 (xyzt) \leftrightarrow (\frac{1}{x}, \frac{1}{y}, \frac{1}{z}, \frac{1}{t})$$

である。



$\mathbb{P}^1$  配置の多対アーリ  
(12 まで成立.)

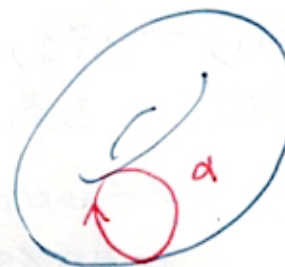
## §2 周期(§1と§2の間の橋脚)

椭円曲線  $C^2 = (1-x^2)(1-k^2x^2)$  Jacobi型

(4)

$$K(k) = \int_0^1 \frac{dx}{\sqrt{(1-x^2)(1-k^2x^2)}}$$

$$= \frac{1}{4} \int_{\alpha} \omega \quad \begin{array}{l} \text{微分 } p \text{ 型式} \\ \text{パラ-ル} \end{array}$$



$p=1$

超幾何関数

$$F(a, b; c; z) := \sum_{n=0}^{\infty} \frac{(a)_n (b)_n}{(c)_n} \frac{z^n}{n!} \quad (= F_1(\dots))$$

用いて

$$K(k) = \frac{\pi}{2} F\left(\frac{1}{2}, \frac{1}{2}; 1; k^2\right) = \frac{\pi}{2} \sum_{n=0}^{\infty} \binom{2n}{n}^2 k^{2n}$$

が成立。(Fは2階微分方程式の解.)

上の例が2次元版も手之3。 $\tilde{S}_2$ 上の1つの周期が

$$\int_{\alpha_2} \omega_2 = \frac{1}{(2\pi)^2} \sum_{n=0}^{\infty} \binom{2n}{n}^3 2^n$$

2階微分方程式

$$= \frac{1}{(2\pi)^2} {}_3F_2\left(\frac{1}{2}, \frac{1}{2}, \frac{1}{2}; 1, 1; 2\right)$$

一般化された超幾何

Clausen's 公式

$$= \left\{ \frac{1}{2\pi} F\left(\frac{3}{4}, \frac{1}{4}; 1; \lambda\right) \right\}^2$$

ハーラークスの(一般)超幾何関数とし、(Picard-Fuchs)  
微分方程式(3階)を手之3。 $(\lambda = 0, 1, \infty \text{ ただし } \lambda \neq 0)$ 確定特異点

\* 計算法は Peters - Sienstra (1991) によると, Fermi 曲面の  
場合と同じである。

## §3 トレリ(型)定理

(5)

① 曲線  $C$ , 種数  $g$   $\omega_1, \dots, \omega_g \in H^0(C, \mathcal{L})$   
基底

$\alpha_1, \dots, \alpha_g, \beta_1, \dots, \beta_g \in H_1(C, \mathbb{Z})$

symplectic 基底, 3stis. 立方行列  $\begin{pmatrix} 0 & I_g \\ -I_g & 0 \end{pmatrix}$

$C$  の周期行列  $\left( \int_{\alpha_i} \omega_j \quad \int_{\beta_i} \omega_j \right)$

正規化  $(I_g, Z)$

Riemann 及 線形関係  ${}^t Z = Z$ ,  $I_m Z > 0$   
正定値

より,  $Z \in \mathbb{H}_{g,g}$  Siegel 上半空間  
( 亜型 有界対称領域 )

Torelli の定理 曲線  $C \sim C'$  の同型

$Z \sim Z'$  且  $Sp(2g, \mathbb{Z})$  の作用で半分

言葉で  $M_g \hookrightarrow \mathbb{H}_{g,g}/Sp(2g, \mathbb{Z})$   
掌崩 準射影的代数多様体

証し, まず  $3g-3 \geq \frac{g(g+1)}{2} \Rightarrow g \geq 4$  に纏う.

方針

①

曲線

型式  $\omega_1, \dots, \omega_g$

③

$< 3$

$\omega \in H^0(S, \mathcal{L}_S)$

②

Euclidean

$\pi \in H^1(S, \mathcal{L}_S^2 \otimes \mathbb{Z}_g^\omega)$

サイン  $\alpha_1, \dots, \alpha_g$

$\alpha_1, \dots, \alpha_{2g}$

$\alpha_1, \dots, \alpha_{12}$

symplectic

$\in H_1(S, \mathbb{Z})$

$\in H_2(S, \mathbb{Z}^\omega)$

基底

適支基底

(復習) 局所系 (local system) = 局所定数値

古典 (Euclid) 位相 ⑥

二つを併記する (コ) ホモロジー群 (Cech 上の  
Hodge 構造 並)

局所系  $\alpha[\beta]$ :  $M^n$ : 位相多様体 各点に 相対ホモジニティー $H_n(M, M - x)$ ,  $x \in x$ ,  $\epsilon$  対応する orientation sheet.

② Enriques 曲面  $S$ .  $\bar{\omega} \in H^0(S, (\Omega_S^2)^{\otimes 2})$ , 2 重 2 形式

$\overset{\sim}{S}$  の 定める 明瞭な 局所系 ( $\mathbb{Z}$  層)  $\in \mathbb{Z}_S^\omega \cong \mathbb{Z}^{12}$ .

通常の Betti 数  $B_n$  は  $(1, 0, 10, 0, 1)$

$\mathbb{Z}_S^\omega$  係数で  $(0, 0, 12, 0, 0)$

$H^2(S, \mathbb{Z}_S^\omega) \cong \mathbb{Z}^{12}$  以外は 消え去る。  $S$  上の 支支形式は

$$x_1^2 + x_2^2 - x_3^2 - \cdots - x_{12}^2$$

と同様。 わかん 2 サイクル  $\alpha_1, \dots, \alpha_{12} \in H_2(S, \mathbb{Z}_S^\omega)$

の 直交基底, つまり,  $(\alpha_i) = \begin{cases} 1 & i=1, 2 \\ -1 & i=3, \dots, 12 \end{cases}$

2 重 2 形式  $\bar{\omega}$  は  $H^0(S, \Omega_S^2 \otimes \mathbb{Z}_S^\omega)$  の 元とも 互換で、

周期  $\int_\alpha \bar{\omega} \in \mathbb{C}$ ,  $\alpha \in H_2(S, \mathbb{Z}_S^\omega)$ , は well-defined.

$(\int_{\alpha_1} \bar{\omega}, \dots, \int_{\alpha_{12}} \bar{\omega}) \in \mathbb{C}^{12}$ ,  $S$  の 周期ベクトル

$\bar{\omega}$  は 主数倍 P を除く 一意的 である。

$z := (\int_{\alpha_1} \bar{\omega}, \dots, \int_{\alpha_{12}} \bar{\omega}) \in \mathbb{P}^n$ ,  $S$  の 周期点

が定まる。多様型関係

$$(S_{\alpha_1} \bar{\omega})^2 + (S_{\alpha_2} \bar{\omega})^2 - \sum_{i=3}^{12} (S_{\alpha_i} \bar{\omega})^2 = 0 \quad (7)$$

$$|S_{\alpha_1} \bar{\omega}|^2 + |S_{\alpha_2} \bar{\omega}|^2 - \sum_{i=3}^{12} |S_{\alpha_i} \bar{\omega}|^2 > 0$$

より、周期点  $\bar{z}$  は  $10$  次元  $2$  次超曲面  $Q \subset \mathbb{P}^4$   
の開集合  $D^{10}$  に属する。IV型有界群が存在。  
( $\alpha_2$  のみ)  $D^{10}$  に直交群  $O_Z(2, 10)$  が作用。

### Torelli 型主理

Enriques 曲面  $S$  と  $S'$  が同型

$\Leftrightarrow$  同期ベクトル  $\bar{z} = \bar{z}'$  は  $O_Z(2, 10)$  で取り合う。

証明 32

$$E_{n,n} \hookrightarrow D^{10} / O_Z(2, 10)$$

射

$10$  次元準射影的代数多様体

となる。また独立 (曲線の場合  $n = g = 1, 2, 3$  の例を除く)

### 全射性定理

上の(同期)写像の像は具体的

な超曲面\*) の補集合。

この考え方をみると、Coble 曲面 (境界付、対称的な  
Enriques 曲面) も許すと全射。

Remark 2. Enriques 曲面は  $G_2$  曲面と  
は同型でも、(抽象的) 曲面としては同型で  
ない。より精密に、主たる標準 Cremann 变換で移り会う

\*) Borchers (1996) の 重 という保型形式の零軌道。

$$\left\{ \begin{array}{l} \text{引の Enriques} \\ G^{22} \text{ 曲面} \end{array} \right\} / \mathbb{G}_{4 \times C_2} \dashrightarrow \text{Enr}$$

↑  
座標  $(x, y, t, \tau)$   
の写像

標準 Cremona 变換  
 $(x, y; t, \tau) \longleftrightarrow (\frac{x}{t}; \frac{y}{t}; \frac{1}{t}; \frac{1}{t})$

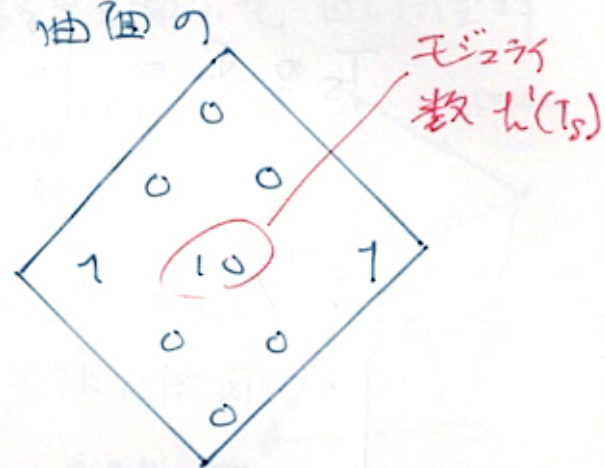
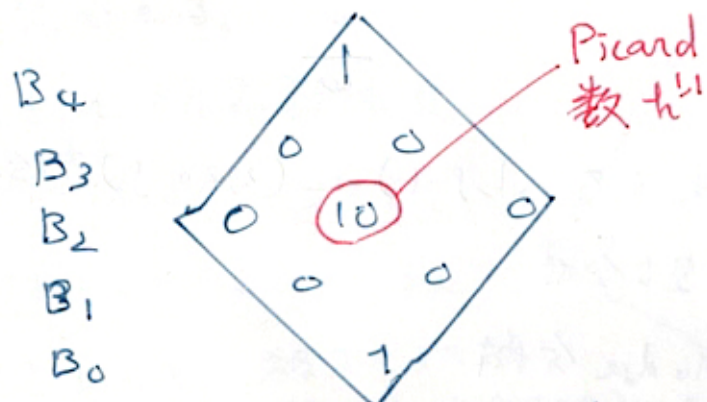
(8)

は ~~53 96, 480~~ 次の複雑 (Barth-Peters(1983) の計算.)  
~~2, 698, 240~~

Remark 3 Barth 数  $\mu$  に Picard 数  $\mu'_{\text{Pic}}$  を考慮。

$(B_n = \sum_{p \in \text{gen}} -h_{p, \infty})$  係数と固有値  $\lambda$  の非固有  $\mathbb{Z}_5^w$

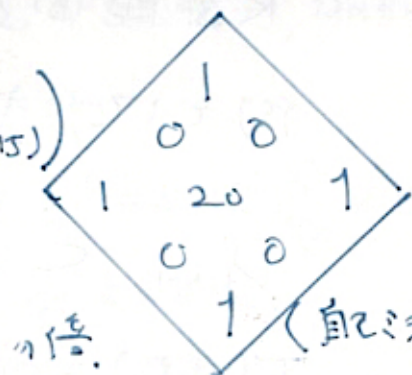
に平行  $33 = n \delta$  ), Enriques 曲面の



Hodge ダイヤモンドは 90 度回転.  $K3$  の Hodge ダイヤモンドと  
両者の重ね合せである。

③  $K3$  曲面の Torelli 型定理 (例文) (金銅(2015))  
Enriques と同様. 係数は通常  $\mathbb{Z}$ .

$\cdot (\text{モジュライ数}) = 20$ . Enriques 曲面の倍.



ただし, Enriques と違って, 非代数的 3-torsion が出現.

代数的 3-torsion, 19 次元後, 可算無限和. モジュライは  
通常は偏平化  $\mathbb{P}^2$  である。

・交点形式は  $\text{diag} [1, 1, -1, \dots, -1]$  のややいじる.

$\underbrace{210}_{\text{OK. } 10^{112}}$

$$\Delta_{K3} = U + U + U + E_8 + E_8$$

重金属性ルート格子.

符号数 (3, 19)

有界射影正定行列!

89

## §4 Vinberg-Conway 鎌と本数正

(9)

[時門がなくて詰せなかつた。]

(代数的)  $K_3$  曲面の考え方、探し方 (Torelli型定理のかけ)

$$\text{Pic } S = \left\{ \alpha \in H_2(S, \mathbb{Z}) \mid \int_{\alpha} \omega = 0 \right\} \subset H_2(S, \mathbb{Z})$$

$\hookrightarrow$  Lefschetz  
(L1) 定理

符号数  $(1, p-1)$

112

の部分格子

$\Lambda_{K_3}$

$\beta$ : Picard 数

$$T_S := (\text{Pic } S)^{\perp} \text{ 直交補格子} \quad \text{符号数 } (2, 20-p)$$

$$T_S \otimes \mathbb{C} = T_S^{2,0} \oplus T_S^{1,1} \oplus T_S^{0,2} \quad \text{Hodge 分解}$$

$\downarrow$   $\uparrow$

$\omega$   $\frac{\psi}{\omega}$

- データ
- $\Lambda_{K_3}$  内、直交する  $(1, p-1) \subset (2, 20-p)$  部分格子
  - 両部分格子の點合せ
  - $T_S$  部分の Hodge 分解

で  $K_3$  曲面が決まる。

$\beta \geq 12$ , Vinberg-Conway 鎌 を考えよ。

$$D_{1,n-1} \subset I_{1,n-1} = (\mathbb{Z}^n, x_1^2 - x_2^2 - \cdots - x_n^2)$$

奇 unimodular 格子

$$\sum (\text{係数}) \equiv 0 \pmod{2}$$

で 宝塚山子指す 2 の部分格子

$n \leq 20$  の場合、 $D_{1,n-1}$  は  $K_3$  曲面の Picard 矩子と 12

対応する。この  $K_3$  曲面は  $\mathcal{O}(C_n)$  は帰納的構造

をもつ (Conway-Sloane (1982))。Vinberg-Conway 鎌と呼ぶ。

$n=9$	1	2	$\leq 17$	18	19	20
Picard etc.	$\langle 4 \rangle$ $(-12^n)$ 4次曲面	$\begin{pmatrix} 2 & 0 \\ 0 & -2 \end{pmatrix}$ $S \rightarrow P^2$ 分歧点 1-nodeal 6次曲線	-	Borchers-Peters (1983) 型の Enriques 曲面の $\leq 3$ 被覆	ミラー 4次 曲面 disc = 4	Vinberg 曲面 前回登場 (2019年12月)
$T_s$ 部分		$U + U + D_{18-n}$		$U + U(2)$	$U + \langle 4 \rangle$	$\begin{pmatrix} 20 \\ 0 \end{pmatrix}$

Vinberg と Vinberg-Kaplansky の結果を用いて自己同型群

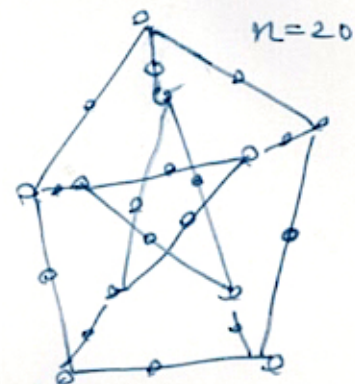
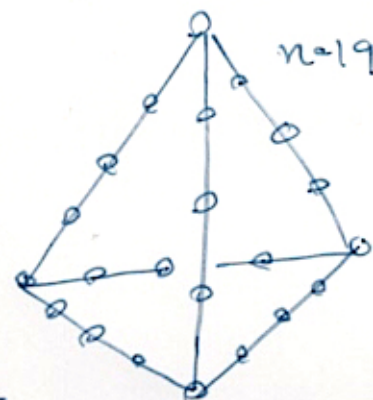
を決定する。

以上は複素数体  $\mathbb{C}$   
上の  $\frac{1}{2}9 \sim 23$  が、複数

正の体上  $n=21, 22$

を実現した。格子  $\Gamma$  は  
 $n=21, \dots, 25$  が Borchers (1987) による調査である。

$n=22$   $K_3^{Adl}$  ( $p=2$ ), 3次, 構造  $\mathbb{Z}_2$  の特異点, Antin  
不変量 1 の  $\leq 3$  曲面. 量体の  $n=22$



$$\Sigma : \sum_1^3 x_i^2 y_i = \sum_1^3 x_i y_i^2 = 0 \subset P_{(x)}^2 \times P_{(y)}^2$$

Dolgachev-Kondo (2003) による証明である。

$$n=21 \quad \text{Reid } G_2 \text{ 曲面} \quad \sum_{i<j} x_i x_j = \sum_{i<j} x_i x_j x_k = 0$$

$\subset P_{(x)}^5$  上の 2 体 上に定義される。上に  $n=22$   
 $\leq 3$  曲面  $\Gamma_3$  が、 $\Gamma_2$  上の Picard 数は 21 であることに注意。

25 は、高さ 3 の singular 点を持つ  $n=23$ , 予想的には  $n=24$   
も実現した (と思われる)。

\*) 全鏡像型 Enriques 曲面の  $\leq 77$ . II型 (81) および  $U + \langle 8 \rangle$ .

## 参考文献

### §1 2次元版

Griffiths, P. and Harris, J.: *Principles of algebraic geometry*, John Wiley & Sons, 1978.

Mukai, S. and Ohashi, H.: Enriques surfaces of Hutchinson-Gopel type and Mathieu automorphisms, in "Arithmeric and geometry of K3 surfaces and Calabi-Yau threefolds", pp. 429-454, Springer. 2013.

Kondo, S.: Enriques surfaces with finite automorphism group, Jap. J. Math. **12**(1986), 191-282.

### §2 周期

Peters, C. and Stienstra, J.: A pencil of K3-surfacces related to Apery's recurrence for  $\zeta(3)$  and Fermi surfaces for potencial zero, Lect. Notes in Math. **1399**(1991), 110-127.

### §3 トレリ (型) 定理

Horikawa, E.: On the periods of Enriques surfaces, I, II, Math. Ann. **234**(1978), 73-88; ibid **235**(1978), 217-246.

Borcherds, R.: The moduli space of Enriques surfaces and the fake monster Lie superalgebras, Topology, **35**(1996), 699-710.

Mukai, S.: Lecture notes on K3 and Enriques surfaces, in "Contribution to algebraic geometry", pp. 389-405, Eur. Math. Soc., Zurich, 2012.

Allcock, D.: The period lattice for Enriques surfaces, Math. Ann. **317**(2000), 483-488.

Barth, W. and Peters, C.: Automorphisms of Enriques surfaces, Inv. Math. 73(1983), 383-411.

金銅誠之、K3曲面、共立出版、東京、2015.

#### §4 Vinberg-Conway鎖と標数正

Vinberg, E.B.: Some arithmetic discrete groups in Lobachevskii spaces, in "Discrete subgroups in Lie groups", Oxford Univ. Press, 1975, pp. 323-348.

Vinberg, E.B. and Kaplinskaja, I.M.: On the group  $O_{\{18,1\}}(\mathbb{Z})$  and  $O_{\{19,1\}}(\mathbb{Z})$ , English translation, Soviet Math. Dokl. **19**(1978), 194-197.

Vinberg, E.B.: The two most algebraic K3 surfaces, Math. Ann. **265**(1983), 1-27.

Conway, J. and Sloane: Leech roots and Vinberg groups, Proc. R. Soc. London, **384**(1982), 233-258.

Borchers, R.: Automorphism groups of Lorentzian lattices, J. Algebra, **111**(1987), 133-153.

Dolgachev, I. and Kondo, S.: A supersingular K3 surface in characteristic 2 and the Leech lattice, IMRN, **2003**(2003), 1-23.